

مطالعه هیستولوژیکی تأثیر روش لیزر درمانی ۳۰ میلی وات در ترمیم استخوان

علی اصغر یوسفی دبیا^{*}, منیزه مختاری دیزجی^{**}, باقر لاریجانی^{***}, مژده صالح‌نیا^{****}, Ph.D.

گینی ترکمن^{****}

* دانش‌آموخته گروه فیزیک پزشکی دانشگاه تربیت مدرس

** مرکز تحقیقات غدد و متابولیسم دانشگاه علوم پزشکی تهران

*** گروه بافت‌شناسی دانشگاه تربیت مدرس

**** گروه فیزیوتراپی دانشگاه تربیت مدرس

تاریخ وصول: اردیبهشت ماه ۸۴، تاریخ پذیرش: خرداد ماه ۸۴

چکیده

هدف: بررسی هیستولوژیکی تأثیر لیزر کم توان گالیوم - آلمینیوم - آرسناید (GaAlAs) با توان اسمی ۳۰ میلی‌وات و طول موج ۸۳۰ نانومتر در فرآیند ترمیم استخوان تیبیای خرگوش.

مواد و روشها: تحقیق روی ۲۴ راس خرگوش نر بالغ از نژاد نیوزیلند صورت گرفت. پس از بیهوشی عمومی و برش پوستی، قسمت میانی استخوان تیبیا به قطر ۳ میلی‌متر سوراخ شد. حیوانات به طور تصادفی به سه گروه کنترل، شم و آزمون تقسیم شدند. ۲۴ ساعت پس از ایجاد ضایعه، گروه آزمون تحت تابش نور لیزر عمود بر محور طولی تیبیا، روزانه در ۵ نقطه بافت با چگالی انرژی ۱۲۶ سانتی‌متر مربع به مدت ۷ و ۱۴ روز صورت گرفت. برای ارزیابی روند ترمیم مقایسه هیستولوژیکی بین گروه‌های مورد مطالعه، از محل ضایعه در روزهای هفتم و چهاردهم نمونه برداری انجام شد.

یافته‌ها: نتایج مطالعات بافت‌شناسی نشان داد که در گروه تیمار ۷ روزه هیچ تمایزی از لحاظ استخوان‌سازی بین گروه آزمون با گروه شم و کنترل مشاهده نمی‌شود؛ اما وسعت استخوان‌سازی در گروه آزمون در تمام قسمتهای اطراف ضایعه فعال‌تر از گروه کنترل و شم بود. نتایج گروه آزمون با ۱۴ روز تابش دهی نشان داد که ناحیه آسیب دیده توسط بافت استخوان اسفنجی کاملاً پر شده و به طور مشخص نسبت به دو گروه شم و کنترل قابل تمايز است.

نتیجه‌گیری: بنابراین بر همکنش فتوشیمیایی لیزر روند استخوان‌سازی را به طور مشخص تسریع کرده و به ویژه در گروه آزمون ۱۴ روزه به طور موثرتری قابل مشاهده است.

کلید واژه‌ها: لیزر درمانی کم توان، ترمیم استخوان، بافت‌شناسی

مقدمه

شده و مشکلات زیادی را برای بیمار و جامعه به وجود می‌آورد. طی چند سال اخیر استفاده از منابع مصنوعی از قبیل میدانهای الکترومغناطیسی [۱-۳]، تحریکات مکانیکی [۴-۶] و امواج فراصوت [۷-۸] در ترمیم و بهبود شکستگی مطرح شده است. پس از اختراع لیزر، مطالعات زیادی در زمینه آثار برهم‌کنش میان لیزر و بافت انجام شد. با وجود پارامترهای زیاد، از قبیل طول موج، زمان تابش دهی، چگالی انرژی، نوع بافت و ... تنها

ترمیم شکستگی استخوان روند پیچیده و اساسی است که بدون آن زنده ماندن محتمل نیست. به دنبال وقوع شکستگی، مراحل متوالی التهاب، ترمیم و تجدید ساختار صورت می‌گیرد تا استخوان آسیب دیده به وضعیت اصلی خود بازگردد. سرعت روند ترمیم استخوان آهسته بوده و این امر موجب ناتوانی بیمار

آدرس مکاتبه: تهران، دانشگاه تربیت مدرس، گروه فیزیک پزشکی، صندوق پستی ۴۸۳۸-۴۸۵۵، Email: mokhtarm@modares.ac.ir

کلینیکی از آن به عمل آورد. تحقیقات انجام شده نشان می‌دهد که عمق نفوذ به پارامترهای زیادی از جمله طول موج، شدت، پالسی یا پیوسته بودن امواج لیزر وابسته است به طوری که طول موجهای بین 820 تا 840 نانومتر کمتر توسط پوست جذب شده و بیشترین عمق نفوذ را دارند [۱۷]. بنابراین اخیراً در بررسیهای مربوط به روند ترمیم استخوان، طول موجهای $840-820$ نانومتر ارزیابی شدند. با توجه به مطالعات بافت‌شناسی که اخیراً خادراء (Khadra) و همکارانش پیرامون تأثیر لیزر کم‌توان روی استخوان کالواریال (Calvarial) صورت گرفت، نشان داد که روش LLLT (۷۵ میلی‌وات و 830 نانومتر) در ترمیم استخوان موثر است [۱۵]. مطالعات پیرامون برهم‌کنش لیزر با استخوان کاشته شده در رت (40 میلی‌وات) و خرگوش (150 میلی‌وات) نشان داد که که از لحاظ بافت‌شناسی طول موجهای محدوده مادون فرمز می‌تواند در ترمیمی موثر باشد [۱۶]. از طرف دیگر در برخی مطالعات ملاحظه شد که روش درمانی LLLT اثرهای مشابهی را در همه بافت‌ها نمی‌گذارد، به طوری که در دوزهای پایین بدون اثر بوده و در دوزهای بالا نیز می‌توانند نتایج کم یا حتی بدون اثر داشته باشند و در دوزهای بسیار بالا نیز می‌توانند منجر به آثار مهاری در ترمیم شوند لذا با توجه به مطالعات متنوع در زمینه تأثیر فوتوشیمیایی لیزر با توان، طول موج و نحوه تابش دهی متفاوت در ترمیم استخوان، هنوز توصیف کاملی از مشخصات فیزیکی-اپتیکی موثر در ترمیم استخوان ارائه نشده است، به عبارت دیگر آیا همدوسری، پهنای فرکانسی و قطبش اهمیت بیشتری در تحریکات سلولی نقش دارند و اینکه کدام مشخصات لیزر از لحاظ طول موج، شدت و چگالی انرژی می‌تواند به طور موثری در ترمیم وارد شود.

در مطالعه حاضر با توجه به عمق نفوذ نسبتاً بالای طول موج نور لیزر تأثیر فوتوشیمیایی لیزر کم‌توان گالیوم-آلومینیوم-آرسناید (GaAlAs) با طول موج پیوسته 830 نانومتر، توان 30 میلی‌وات و چگالی انرژی 20 ژول بر سانتی‌متر مربع در ترمیم تیبیا آسیب‌دیده خرگوش بررسی شد. برای ارزیابی روند ترمیم، استخوان حیوانات پس از ۷ روز و 14 روز تابش دهی روزانه، تحت مطالعه بافت‌شناسی قرار گرفتند و

پنج نوع برهم‌کنش میان لیزر و بافت دسته‌بندی شده است که [۹] عبارتند از: برهم‌کنشهای فوتوشیمیایی، گرمایی، انعقاد فوتونی (Photoablation)، انعقاد القایی پلاسمای گسیختگی فوتونی (Plasma-Induced Ablation) و برهم‌کنش فوتوشیمیایی در توانهای پایین لیزر ($500-1$ میلی‌وات) بر بافت‌های بیولوژیک یکی از موضوعات مورد بحث جوامع علمی است به طوری که در سالهای اخیر باعث به وجود آمدن شاخه جدیدی از درمان با لیزر Low Level LLLT (Laser Therapy) شده است. آثار بیولوژیک ناشی از این برهم‌کنش بر اهداف درمانی مانند رشد مو، التیام زخم، سنتز و برانگیزش کلازن، فرآیند رگ‌سازی و تسکین درد مورد توجه محققین قرار گرفته است.

تأثیرات بیولوژیکی لیزر در استخوان‌سازی به صورت سه زمینه مورد تحقیق قرار گرفته است: ۱- مطالعات سلولی با استفاده از رده‌های سلولی مناسب در محیط کشت؛ در این مطالعات برای ارزیابی تأثیرات فوتوبیولوژیکی تابش لیزر از برخی شاخصهای قابل قبول از جمله تکثیر سلولی [۱۰]، ارزیابی هیستوشیمیایی [۱۰ و ۱۱] و تغییرات مشاهده شده با میکروسکوپ الکترونی [۱۰] استفاده شده است. ۲- مطالعه در انواع گونه‌های حیوانات آزمایشگاهی؛ آسیبهای متفاوتی از جمله آسیب با مته [۱۵-۱۲] و آسیب مکانیکی [۱۶] در استخوان حیوانات مانند موش سوری، رات و خرگوش در نواحی مختلف ایجاد شده است و آثار فوتوشیمیایی تابش لیزر بر فرآیند استخوان‌سازی در حیوانات آزمایشگاهی مورد مطالعه قرار گرفته است و در نهایت تحقیق در ۳- داوطلبان انسانی که به دلیل اختلاف در ویژگیهای فردی داوطلبان و نیز تنوع شکستگی به نتایج قطعی ختم نشد.

در مطالعات حیوانی شواهد ضد و نقیضی از آثار سودمند تابش لیزر در ترمیم استخوان آسیب‌دیده مشاهده شد، به طوری که تحقیقات زیادی در پیرامون نقش لیزر هلیوم-نئون (He-Ne) در ترمیم تیبیا استخوان حیوانات آزمایشگاهی صورت گرفته است [۱۴]، اما با توجه به عمق نفوذ پایین این لیزر و عمقی بودن بافت استخوان به نظر نمی‌رسد بتوان استفاده

دقت ± 1 میلیوات بررسی شد، به طوری که با انتخاب توان نامی 30 میلیوات، سیستم کالیبراتور خروجی 27 میلیوات را اندازه‌گیری نمود. 24 ساعت پس از جراحی و ایجاد ضایعه، گروه آزمون تحت تابش لیزر GaAlAs با طول موج 830 نانومتر و توان 27 میلیوات، عمود بر محور طولی تیبیا، از روی پوست و روزانه به مدت 175 ثانیه با چگالی انژی 20 ژول بر 5 سانتیمتر مربع صورت گرفت. در پروسه تابش دهی موثر، 5 نقطه بافت (4 نقطه به فاصله 2 میلی‌متر از مرکز ضایعه و یک نقطه روی مرکز ضایعه) با چگالی انژی 4 ژول بر سانتیمتر مربع تحت تابش لیزر قرار گرفتند. پروتکل تابش دهی، روزانه به مدت 7 و 14 روز به صورت همزمان و پریودیک با انژی یکسان انجام گرفت. براساس مطالعات هیستولوژیکی، روند ترمیم استخوان تابش دیده با ترمیم استخوان در گروه شم و کنترل مقایسه شد.

آماده‌سازی نمونه و بررسی‌های هیستولوژیکی

به منظور ارزیابی روند ترمیم و مقایسه بین گروه‌های مورد مطالعه، نیمی از حیوانات در روز هفتم پروتکل تابش دهی با تزریق دوز بالای داروی بیهوشی کتابمین/زاپلازین، کشته شدنده و بقیه تا روز چهاردهم تحت تابش روزانه قرار گرفته، سپس کشته شدنده و از محل ضایعه نمونه برداری انجام شد. نمونه‌ها به مدت 3 روز در داخل محلول فرمال سالین 10 درصد تثبیت شدنده و بعد به مدت 3 ± 3 روز در محلول EDTA (Ethylenediaminetetraacetic Acid, Merck, Germany) قرار داده شدنده تا دکلسيفیه شوند. پس از آبگیری و قالب‌گیری با پارافین، برشهای طولی به ضخامت 10 میکرون تهیه و با هماتوکسیلین و ائوزین (H&E) (Merck, Germany) رنگ‌آمیزی و مقاطعه توسط میکروسکوپ نوری (Olympus) بررسی شد. مشاهدات هیستولوژیکی به طور نامشخص (blind) و بدون آگاهی از انواع گروه تحت درمان مورد ارزیابی قرار گرفت.

یافته‌ها

در کلیه نمونه‌های حیوانی مورد مطالعه، هیچ‌گونه علائم

در نهایت تأثیر تابش لیزر در تغییرات بافتی استخوان مقایسه شد.

مواد و ادوات حیوانات و فرآیند جراحی

در این مطالعه از 24 راس خرگوش سفید $4-3$ ماهه نر نیوزیلندری (NZW) تهیه شده از انسیستو پاستور با وزن میانگین 180 ± 158 گرم استفاده شد. برای سازش حیوان با شرایط جدید، یک هفته پیش از جراحی حیوانات به حیوانخانه منتقل و مواد غذایی و آب به مقدار کافی در اختیار آنها قرار داده شد. لوازم جراحی اتوکلاو (دمای 130 درجه سانتیگراد به مدت 30 دقیقه) استریل شد. پس از تثبیت حیوان، موهای پای راست از زیر زانو تا مج پا تراشیده و ناحیه ضدغوفونی شد. حیوانات با تزریق داروی کتابمین/زاپلازین به نسبت 1 به 7 میلی‌گرم بر کیلوگرم وزن حیوان به صورت داخل عضلانی و تحت شرایط استریل بیهوش شدند. با استفاده از تیغ جراحی، برشی به طول 2 سانتیمتر بر سطح داخلی پوست در قسمت میانی تیبیا ایجاد شد. سپس با کنار زدن فاشیای عمقی، پریوست موجود بر روی سطح قدامی داخلی استخوان کنار زده شد و توسط متنه استریل، سوراخی به قطر 3 میلی‌متر در وسط تیبیا ایجاد شد. میزان آسیب در حدی بود که قسمت قشری استخوان را سوراخ نموده و باعث تخریب کانال مرکزی شد، اما به لایه قشری مقابل آسیبی نمی‌رساند. محل جراحی با استفاده از محلول سرم نمکی شستشو و به وسیله نخ جراحی بخیه زده شد. به منظور جلوگیری از آثار سیستماتیک، فقط پای راست حیوان جراحی شد. حیوانات پس از جراحی به سه گروه کنترل (بدون استرس و تابش لیزری)، شم (با استرس و بدون تابش لیزری) و آزمون (تابش لیزری روزانه) تقسیم شدند. ارزیابی هیستولوژیکی تأثیر تابش لیزر بر روند ترمیم استخوان، در روزهای هفتم و چهاردهم پس از جراحی صورت گرفت.

پروتکل تابش دهی

لیزر GaAlAs (MedArt,uni-laserTM,Denmark) با طول موج 830 نانومتر، توان نامی 30 میلی‌وات و قطر باریکه 5 میلی‌متر استفاده شد. ابتدا توان خروجی توسط کالیبراتور با

استخوانی تعداد استئوبلاست‌ها در روز چهاردهم نسبت به روز هفتم کمتر شده است و کanal ضایعه کاملاً پر شده است.

یافته‌های فوق نشان داد که میزان تکثیر در مرحله رشد در هفته دوم پس از آسیب در گروه تابش دیده بیشتر از گروههای شم و کنترل به ویژه گروه شم است و لیزر بیشترین تأثیر را در این مرحله از ترمیم بر عهده دارد.

بحث

مقایسه نتایج مطالعات هیستولوژیکی روند استخوان‌سازی در دو دوره بررسی ۷ روزه و ۱۴ روزه نشان داد که میزان تکثیر سلولی در مرحله رشد روز چهاردهم در هر سه گروه کنترل، شم و آزمون بیش از دوره تیمار ۷ روزه است. تمایز مشخص میان گروه تابش دیده نسبت به گروه شم پس از ۱۴ روز درمان مشاهده می‌شود و ملاحظه شد که فرآیند رشد و تکثیر سلولهای استخوانی با سرعت بیشتری در گروه آزمون نسبت به گروه شم و نیز کنترل صورت گرفته است. در مقایسه، مطالعه فعالیت استخوان‌سازی در روز هفتم پس از درمان، نشان داد که گروه تابش دیده تفاوت جزئی با گروه کنترل و شم است. این یافته، نتایج مطالعه محققین دیگر در بررسی فرآیند ترمیم در روز چهاردهم پس از آسیب را تائید می‌کند. در کلیه نمونه‌های مورد بررسی میان گروه شم و کنترل پس از ۱۴ روز تیمار نیز تمایز نسبتاً کمی ظاهر شده است که می‌تواند به دلیل بی‌حرکت بودن حیوانهای گروه کنترل نسبت به گروه شم باشد ولی در گروه شم پس از ۷ روز استرس تیمار نسبت به گروه کنترل خود، روند رشد مشخص‌تری داشتند. مطالعه ویژگیهای رفتاری حیوانات نیز نشان داد که سیکل التهابی در گروه درمان در روزهای سوم و چهارم ظاهر شد و لی در گروه شم و کنترل با حدود دو روز تاخیر ظاهر شد. به عبارت دیگر؛ لیزر ۳۰ میلی‌وات، ۸۳۰ نانومتر موجب تحريك بیشتر و خارش شده و در نتیجه سیکل التهابی جلو می‌افتد.

نتایج مطالعات اخیر با تابش لیزر ۶۳۳ نانومتر و ۱ میلی‌وات He-Ne به عنوان پروتکل تحقیقاتی LLLT در ترمیم استخوان، نتایج متناقضی را نشان داد. فریتاسی (Feritas) و همکارانش طی دو بررسی تأثیر لیزر He-Ne را در ترمیم

جانبی از قبیل تغییرات رفتاری و پارالیزیز (Paralysis) به جز در روزهای اول پس از جراحی مشاهده نشد. مطالعات هیستولوژیکی گروههای ۷ روزه نشان داد که در گروه کنترل کanal ضایعه قادر بافت استخوانی است و سلولهای خونی جمع شده‌اند (شکل ۱-A). در حاشیه خارجی ضایعه (Lateral) فیبروز داخل ضایعه را پوشانده است و در برخی از قسمت‌های حاشیه گروه ۷ روزه، ترابکولار استخوانی جدید شکل می‌گیرند و سلولهای استئوبلاست دیده می‌شود. روند استخوان‌سازی به طرف مرکز در حال رشد است و قسمت میانی کاملاً پوشیده از بافت همبندی همراه با پیدایش استئوبلاست‌های فعال و مشخص است. در حاشیه میانی روند استخوان‌سازی بسیار کند است و استئوبلاست فعال دیده نمی‌شود (شکل ۱-C). در گروه شم ۷ روزه نیز استخوان‌سازی شروع شده، بافت ترابکولار استخوانی دیده نمی‌شود به طوری که بافت همبندی مشابه گروه کنترل دارند (شکل ۲-A، B و C). در گروه تابش لیزری ۷ روزه، تراکم بافت استخوانی در حاشیه‌ها نسبت به گروه کنترل و شم بیشتر است (شکل ۲-C) به طوری که در ناحیه خارجی استخوانهای جدید ساخته شده‌اند و استئوبلاست‌ها فعال ترند ولی نسبت به کنترل و شم تفاوت زیادی ندارند (شکل ۲-B). در حد فاصل میانی و لترال ضمن شروع فعالیت استئوبلاست‌ها، استخوانهای جدید نیز شکل می‌گیرند (شکل ۲-C).

بررسی بافت‌شناسی گروه ۱۴ روزه در سه گروه کنترل، شم و آزمون با ۱۴ روز تابش دهنده روزانه در ناحیه ضایعه استخوان تیبیا نشان داد که در گروه کنترل و شم، تراکم بافت استخوانی کم است. فضای ترابکولار بیشتر مشهود است. کanal ضایعه کاملاً پر نشده و در لایه‌های سطحی، استخوان متراکم شکل گرفته و سیستم هاورسی کاملاً مشخص است (شکل ۴-A و B). بررسی گروه آزمون با ۱۴ روز تابش دهنده نشان می‌دهد که بافت استخوان اسفنجی تمام ناحیه میانی ضایعه را پر کرده است، بافت استخوانی جدید شکل گرفته (شکل ۵) و محتوی مقداری مواد آهکی است. البته به نظر می‌رسد به دلیل رنگ آمیزی اسید فولیک، مقدار مواد آهکی کمتر است. به دلیل تشکیل بافت

را بررسی نمودند. نتایج حاصل از این تحقیق نشان داد که تابش لیزر در تشکیل بافت فیبروز و شکل‌گیری عروق خونی جدید در روز چهاردهم درمان موثر است [۱۵].

در مطالعه حاضر برای دستیابی به یک پروتکل بهینه ترمیم، از طول موج ۸۳۰ نانومتر با عمق نفوذ بالا و در حد ۴۰-۵۵ میلی‌متر دیوید استفاده شده است. مشاهدات میکروسکوپی نشان داد که پروسه (LLLT) روی ماتریکس خارج سلولی اثر مثبتی دارد و با یافته خادر (Khadra) توافق دارد. در مجموع مشاهده شد که نانومتر LLLT با لیزر GaAlAs طول موج ۸۳۰ و توان خارجی ۳۰ میلی‌وات تأثیر مثبتی بر روند استخوان‌سازی در گروه آزمون ۷ روزه و ۱۴ روزه داشته است. با توجه به روند ترمیم استخوان در گروهی که تحت تابش لیزر قوار دارند، به نظر می‌رسد که نور لیزر باعث افزایش پروفیرینها و سایتوکروم‌های داخل سلولی شده و باعث بالا رفتن فعالیت سلولی می‌شود [۲۰-۱۹]. اظهار نظر دیگر در این زمینه جذب پرتوهای لیزر توسط کروموفرمهای داخل سلولی است که باعث افزایش متابولیسم سلولها می‌شود. مطالعات نشان داد که لیزر باعث افزایش رگزایی در محل آسیب شده و امکان فراهم مواد غذایی در محل آسیب را می‌نماید [۲۱].

با توجه به تأثیر پارامترهای مختلف لیزر بر محیط بیولوژیک، نگارندهان قصد دارند در ادامه تحقیق، پارامترهای بهینه از قبیل فاصله زمانی میان تابشها، دوز انرژی و پروتکل مناسب تابش دهنی را بررسی نمایند.

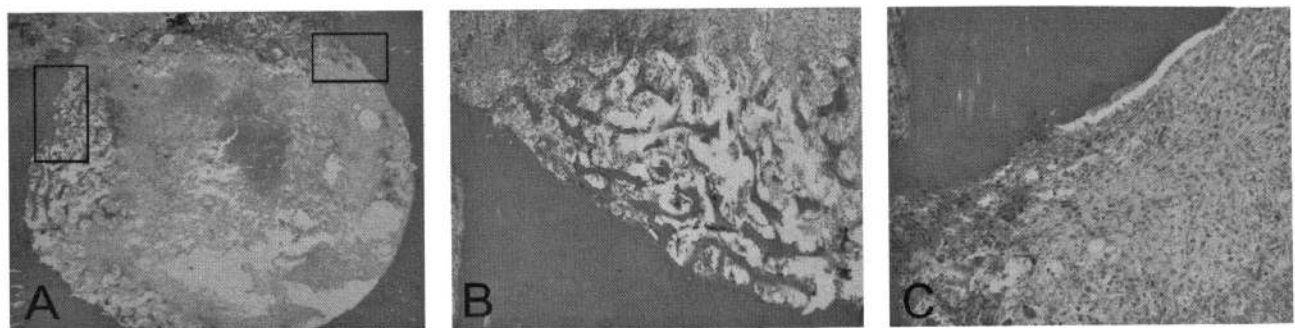
استخوان تیبیا رت که با متنه دندانپزشکی آسیب دیده بود، ارزیابی کردند. در بررسی نخست، ابتدا از چگالی انرژی‌های بالا استفاده نمود. مطالعات هیستولوژیکی را در روزهای هفتم و چهاردهم پس از ایجاد ضایعه انجام دادند. نتایج مشاهده در پروتکل اول تابش دهنی با چگالی انرژی بالا نشان داد که انرژی‌های ۱۵/۳، ۳۱/۵، ۳۱/۷، ۹۴/۷ ژول بر سانتیمتر مربع در هر دو گروه تیمار ۷ روزه و ۱۴ روزه تفاوت قابل توجهی در روند ترمیم استخوان تابش دیده نسبت به گروه کنترل وجود دارد ولی در سطح چگالی انرژی ۱۵/۳ ژول بر سانتیمتر مربع این تمایز مشهود نیست. در این تحقیق مطالعه شم صورت نگرفت [۱۸]. چون روش لیزر درمانی کم‌توان از نوع تماسی است، مطالعه گروه شم ضروری به نظر می‌رسد. در ادامه همین افراد تأثیر سطوح انرژی ۰/۳، ۰/۵ و ۰/۹ ژول لیزر He-Ne در سنتز کلائز و تجمع تراکم آن در ناحیه آسیب دیده را مورد بررسی قرار دادند. نتایج تحقیق نشان داد که تنها انرژی ۰/۳ ژول تأثیری بر افزایش سطح سنتز کلائز ندارد [۱۲]. باروشکا (Barushka) و همکارانش نیز افزایش سطح استخوان‌سازی تحت تابش لیزر He-Ne را در روز پانزدهم تائید کردند [۱۴].

با وجود اینکه بیشتر مطالعات مربوط به تأثیر لیزر هلیوم-نئون بر فرآیند ترمیم استخوان است، ولی به نظر می‌رسد به دلیل محدوده طول موج، امکان تابش به مناطق عمقی محدود نیست و به گزارش‌های ضد و نقیض در زمینه ترمیم با لیزر متنه می‌شود. بر این اساس، خادر (Khadra) و همکارانش تأثیر لیزر با توان ۷۵ میلی‌وات در ترمیم استخوان کالواریال رت GaAlAs

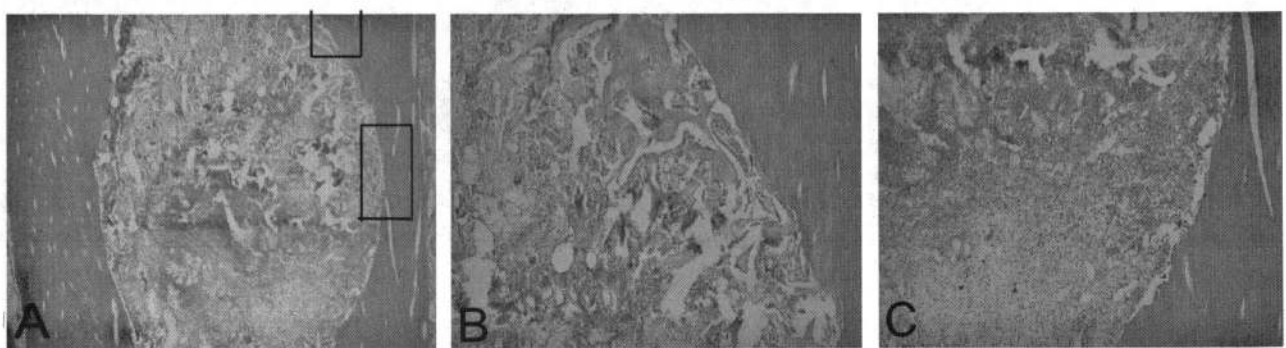
References

1. Otter MW, McLeod KJ, Rubin CT. Effects of electromagnetic fields in experimental fracture repair. Clin Orthop Relat Res 1998; 355 Suppl: 90-104.
2. Ryaby JT. Clinical effects of electromagnetic and electric fields on fracture healing. Clin Orthop Relat Res 1998; 355 Suppl: 205-15.
3. Guan Z, Long Y, Cai G, Yang B. The research progress of using electromagnetic technology in treatment of bone diseases. Sheng Wu Yi Xue Gong Cheng Xue Za Zhi 2000; 17: 226-30.
4. Perren SM, Rahn BA. Biomechanics of fracture healing. Can J Surg 1980; 3: 228-32.
5. Nelson FR, Brighton CT, Ryaby J, Simon BJ, Nielson JH, Lorich DG, Bolander M, Seelig J. Use of physical forces in bone healing. J Am Acad Orthop Surg 2003; 11: 344-54.
6. Edmond YS, Inoue C, Inoue N. Biophysical stimulation of bone fracture repair, regeneration and re-modeling. Eur cell materials J 2003; 6: 72-85.
7. Tanzer M, Harvey E, Kay A, Morton P, Bobyn JD. Effect of noninvasive low intensity ultrasound on bone growth into porous-coated implants. J Orthop Res 1996; 14: 901-6.

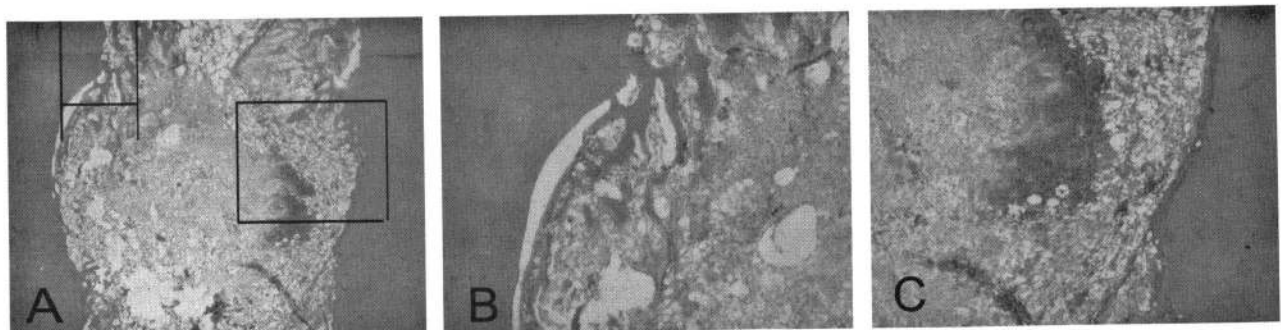
8. Spadaro JA, Albanese SA. Application of low-intensity ultrasound to growing bone in rats. *Ultrasound Med Biol* 1998; 24: 567-73.
9. HYPERLINK
"<http://www.watsonchiropractic.us/wci.html>"
10. Yamada SL. Bone resorption by osteoclasts. *Sci* 2000; 289: 1504-8.
11. Guzzardella GA, Fini M, Torricelli P, Giavaresi G, Giardino R. Laser stimulation on bone defect Healing. *Laser Med Sci* 2002; 17: 216-20.
12. Freitas IG.F, Baranauskas V, Cruz-Hofling MA. Laser effects on osteogenesis. *Appli Sur Sci* 2000; 154&155: 548-54.
13. Yaakobi T, Maltz L, Oron U. Promotion of bone repair in the cortical bone of the tibia in rats by low energy laser (He-Ne) irradiation. *Calcified Tissue Int*, 1996; 59: 297-300.
14. Barushka O, Yaakobi T, Oron U. Effect of low-energy Laser (He-Ne) irradiation on the process of bone repair in the rat tibia. *Bone* 1995; 16: 47-55.
15. Khadra M, Nesrin K, Hans HR, Ellingsen JE, Lyngstadaas SP. Enhancement of bone formation in rat calvarial bone defects using low-level laser therapy. *Oral Surg Oral Med Oral Pathol Oral Radiol Endod* 2004; 97: 693-700.
16. Khadra M, Nold Hans JR, Lyngstadaas SP, Ellingsen JE, Haanaes HR. Low-level laser therapy stimulates bone-implant interaction: an experimental study in rabbits. *Clin Oral Implants Res* 2004; 15: 325-9.
17. Treilles MA, Mayayo E. Bone fracture consolidates faster with low power laser. *Laser Surg Med* 1991; 1: 36-42.
18. Freitas G, Baranauskas V, Joazeiro PP, Padovani CR, Dal Pai-Silva M. Low-power laser irradiation improves histomorphometrical parameters and bone matrix organization during tibia wound healing in rats. *J Photochem Photobiol B: Biology* 2003; 70: 81-9.
19. Pinheiro ALB, De Assis Limeira F, Marleny EMM, Ramalhoa MP, Marzola C, Elizabeth ACP et al. Assessment of bone repair following the use of inorganic bone graft Gen-ox Inorganic and membrane associated or not with 830-nm laser light. *Int Congress Series* 2003; 1248: 445-7.
20. Junior AN, Pinheiro AL, Oliveira MG, Weismann R, Ramalho LM, Nicolau RA. Computerized morphometric assessment of the effect of low-level laser therapy on bone repair: an experimental animal study. *J Clin Laser Med Surg* 2002; 20: 83-7.
21. Tang XM, Chai BP. Effect of CO₂ laser irradiation on experimental fracture healing: a transmission electron microscopic study. *Lasers Surg Med* 1986; 6: 346-52.



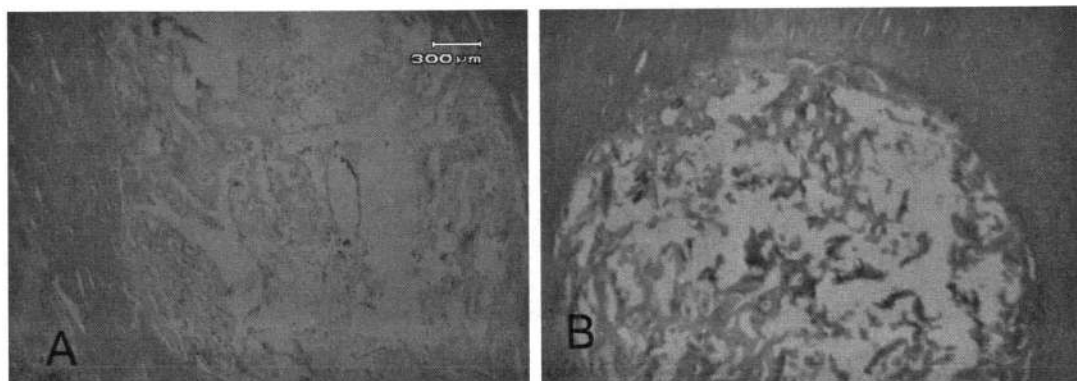
شکل ۱. A) نمای هیستولوژیکی محل ضایعه در گروه کنترل ۷ روزه، B) ناحیه خارجی و C) ناحیه میانی



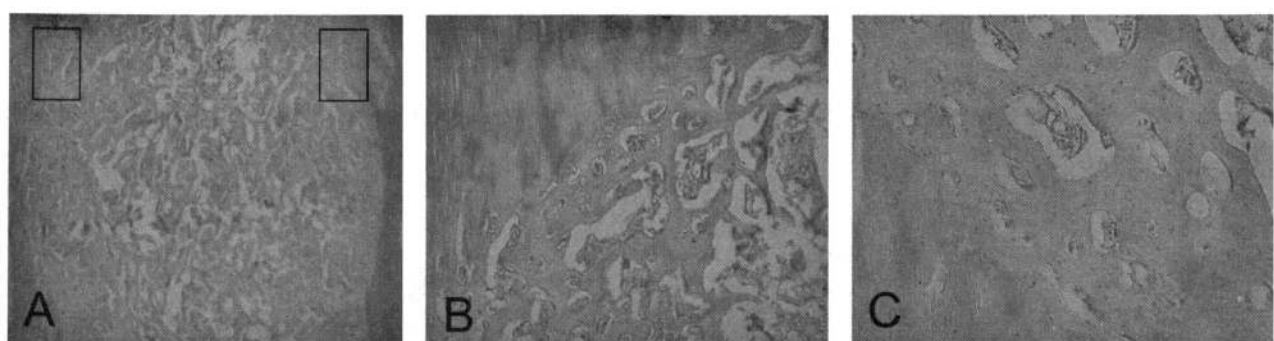
شکل ۲. A) نمای هیستولوژیکی محل ضایعه در گروه شم ۷ روزه، B) ناحیه خارجی و C) ناحیه میانی



شکل ۳. A) نمای هیستولوژیکی محل ضایعه در گروه تابش لیزری ۷ روزه، B) ناحیه خارجی، C) ناحیه میانی



شکل ۴. نمای هیستولوژیکی محل ضایعه در (A) گروه کنترل و (B) گروه شم ۱۴ روزه



شکل ۵. (A) نمای هیستولوژیکی محل ضایعه در گروه تابش ۱۴ روزه، (B) ناحیه خارجی و (C) ناحیه میانی